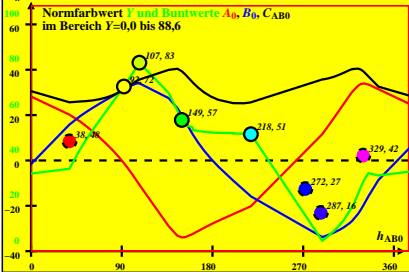
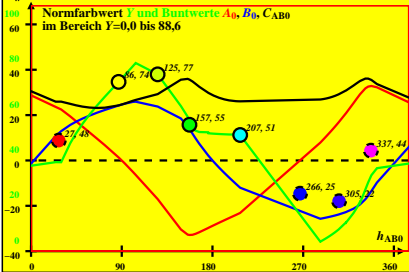


CIE-D65-Daten von -Ostwald-Farben von maximalem Buntwert C_{AB}
 $Y_w=88,6, Y_m=520_770, B_m=380_520$



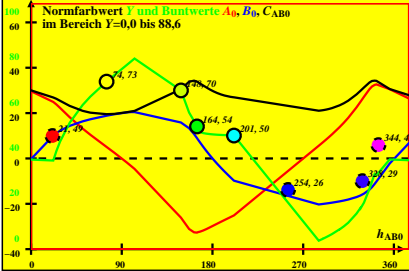
CIE-D50-Daten von -Ostwald-Farben von maximalem Buntwert C_{AB}
 $Y_w=88,6$, $Y_m=520_770$, $B_m=380_520$



0-000030-L0

DG021-2A_2_2

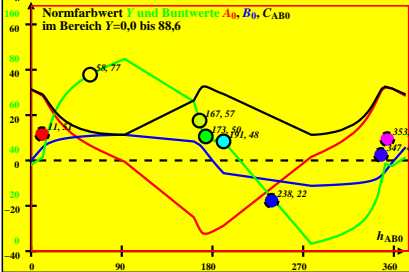
CIE-P40-Daten von -Ostwald-Farben von maximalem Buntwert C_{AB}
 $Y_w=88,6, Y_m=520_770, B_m=380_520$



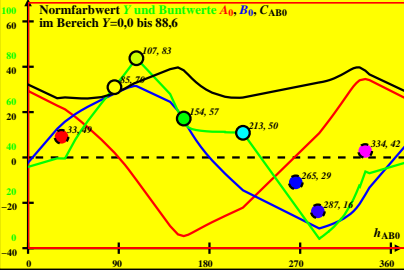
0-000030-L0

DG021-2A_2_3

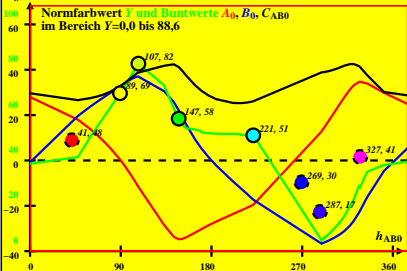
CIE-A00-Daten von -Ostwald-Farben von maximalem Buntwert C_{AB}
 $Y_w=88,6, Y_m=520_770, B_m=380_520$



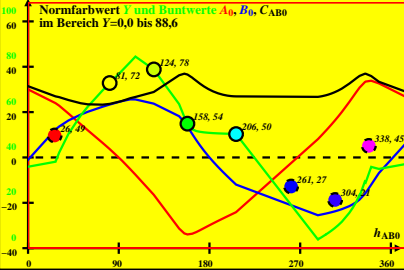
CIE-E00-Daten von -Ostwald-Farben von maximalem Buntwert C_{AB}
 $Y_w=88,6$, $Y_m=520_770$, $B_m=380_520$



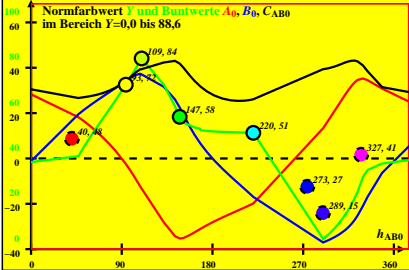
CIE-C00-Daten von -Ostwald-Farben von maximalem Buntwert C_{AB0}
 $Y_w=88,6$, $Y_m=520_770$, $B_m=380_520$



CIE-P00-Daten von -Ostwald-Farben von maximalem Buntwert C_{AB}
 $Y_w=88,6, Y_m=520_770, B_m=380_520$



CIE-Q00-Daten von -Ostwald-Farben von maximalem Buntwert C_{AB}
 $Y_w=88,6, Y_m=520_770, B_m=380_520$



0-000030-L0

DG021-2A_2_8